

## CAPÍTULO 1

- $5.92 \times 10^3 \text{ kg/m}^3$ , entre la densidad del aluminio y la del hierro, y mayor que las densidades de rocas superficiales representativas
- 25.0 kg
- 7.69 cm
- sólo
- Las unidades de  $G$  son  $\text{m}^3/\text{kg} \cdot \text{s}^2$
- $1.39 \times 10^9 \text{ m}^2$
- No con las páginas del volumen 1, pero sí con las páginas de la versión completa. Cada página tiene un área de  $0.659 \text{ m}^2$ . La habitación tiene  $37 \text{ m}^2$  de área de pared, lo que requiere 659 hojas, que se contarían como 1 260 páginas.

- $11.4 \times 10^9 \text{ kg/m}^3$
17. a) 250 años b)  $3.09 \times 10^4$  veces
- $1.00 \times 10^{10} \text{ lb}$
21. 151  $\mu\text{m}$
23. 286 cm

- $\sim 10^6$  pelotas

- $\sim 10^8 \text{ kg}$

- $\sim 10^6$  alfileres

- a) 3 b) 4 c) 3 d) 2

- a) 797 b) 1.1 c) 17.66

- 8.80%

- 9

- 63

- $108^\circ$  y  $288^\circ$

- 48.6 kg

- a) menor en nueve veces b)  $\Delta t$  es inversamente proporcional a  $d^2$  c) Gráfique  $\Delta t$  en el eje vertical y  $1/d^2$  en el eje horizontal d)  $4QL/(k\pi(T_1 - T_2))$

- a)  $m = 346 \text{ g}$   $- (14.5 \text{ g/cm}^3)d^3$  b)  $a = 0$  c)  $346 \text{ g}$  d) sí e)  $a = 260 \text{ cm}$  f)  $90.6 \text{ g}$  g) sí h)  $218 \text{ g}$  i) No;  $218 \text{ g}$  no es igual a  $314 \text{ g}$  j) Los incisos b), c) y d) describen una esfera sólida uniforme con  $\rho = 4.70 \text{ g/cm}^3$  conforme  $a$  tiende a cero. Los incisos e), f) y g) describen una gota líquida uniforme con  $\rho = 1.23 \text{ g/cm}^3$  conforme  $a$  tiende a  $2.60 \text{ cm}$ . La función  $m(a)$  no es una función lineal, así que  $a$  a la mitad entre 0 y  $2.60 \text{ cm}$  no da un valor para  $m$  a la mitad entre los valores mínimo y máximo. La gráfica de  $m$  en función de  $a$  comienza en  $a = 0$  con una tangente horizontal. Luego se curva hacia abajo cada vez más pronunciada conforme  $a$  aumenta. La gota líquida de  $1.30 \text{ cm}$  de radio tiene sólo un octavo del volumen de toda la esfera, así que su presencia reduce la masa sólo por una pequeña cantidad, de  $346 \text{ g}$  a  $314 \text{ g}$ . k) La respuesta no cambiaría en tanto la pared del cascarón no esté rota.

49. 5.0 m

- $0.579 \text{ pies}^3/\text{s} + (1.19 \times 10^{-6})t^2 \text{ pies}^3/\text{s}^2$

- 3.41 m

- $0.449\%$

- $0.529 \text{ cm/s}$  b)  $11.5 \text{ cm/s}$

- $1 \times 10^{10} \text{ gal/años}$

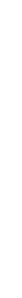
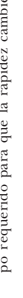
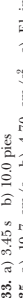
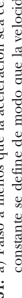
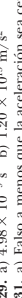
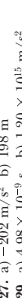
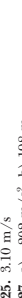
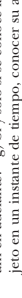
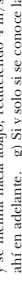
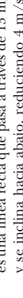
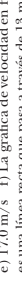
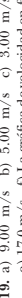
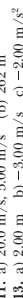
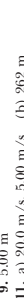
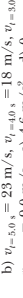
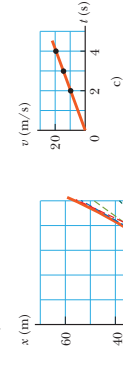
## CAPÍTULO 2

- a)  $5 \text{ m/s}$  b)  $1.2 \text{ m/s}$  c)  $-2.5 \text{ m/s}$  d)  $-3.3 \text{ m/s}$  e) 0

- a)  $3.75 \text{ m/s}$  b) 0

- a)  $-2.4 \text{ m/s}$  b)  $-3.8 \text{ m/s}$  c)  $4.0 \text{ s}$

- a) y c)



## Respuestas a problemas con número impar

### A-26 Respuestas a problemas con número impar

suficiente para encontrar la aceleración, más directamente de lo que podría encontrarla a partir de la distancia entre los puntos.

37. Ignore la resistencia del aire. Suponga que el tiempo de vuelo del trabajador, "una milla" y "un dólar" se midieron a tres cifras de precisión. Se interpretó "en el cielo permaneció" como referencia al tiempo de caída libre, no a los tiempos de lanzamiento y aterrizaje. Por lo tanto, el salario fue de \$99.3/h.

39. a)  $10.0 \text{ m/s}$  arriba b)  $4.68 \text{ m/s}$  abajo

41. a)  $29.4 \text{ m/s}$  b)  $44.1 \text{ m}$

43. a)  $782 \text{ m}$  b)  $0.782 \text{ s}$

45.  $38.2 \text{ m}$

47. a)  $a_x(t) = a_0 + t$ ,  $v_x(t) = v_0 + a_0 t + \frac{1}{2}t^2$ ,  $x(t) = x_0 + v_0 t + \frac{1}{2}a_0 t^2 + \frac{1}{6}t^3$

49. a) 0 b)  $6.0 \text{ m/s}^2$  c)  $-3.6 \text{ m/s}^2$  d)  $6 \text{ s}$  y  $18 \text{ s}$

51. a)  $41.0 \text{ s}$  b)  $173 \text{ km}$  c)  $-184 \text{ m/s}$

53. a)  $5.43 \text{ m/s}^2$  y  $3.83 \text{ m/s}^2$  b)  $10.9 \text{ m/s}$  y  $11.5 \text{ m/s}$

55.  $155 \text{ s}$ ,  $129 \text{ s}$

57. a)  $3.00 \text{ s}$  b)  $-15.3 \text{ m/s}$  c)  $31.4 \text{ m/s}$  abajo y  $34.8 \text{ m/s}$  abajo

59. a)  $5.46 \text{ s}$  b)  $73.0 \text{ m}$  c)  $v_{\text{bala}} = 22.6 \text{ m/s}$ ,  $v_{\text{bala}} = 26.7 \text{ m/s}$

61. a) sí, a dos cifras significativas b)  $0.742 \text{ s}$  c) Si la distancia de frenado es proporcional al cuadrado de la rapidez original.

d)  $-19.7 \text{ pies/s}^2 = -6.01 \text{ m/s}^2$

63.  $0.577 v$

## CAPÍTULO 4

- a)  $4.87 \text{ km}$  a  $209^\circ$  desde E b)  $23.3 \text{ m/s}$  c)  $13.5 \text{ m/s}$  a  $209^\circ$

- $2.50 \text{ m/s}$

- a)  $(0.800 \hat{i} - 0.300 \hat{j}) \text{ m/s}^2$  b)  $339^\circ$

- $(860 \hat{i} - 727 \hat{j}) \text{ m}$ ,  $-15.2^\circ$

- a)  $\vec{v} = 5 \hat{i} + 4 \hat{j} \text{ m/s}$  b)  $\vec{r} = 5 \hat{i} + 1.6 \hat{j} \text{ m}$

- a)  $3.34 \hat{i} \text{ m/s}$  b)  $-50.9^\circ$

- $53.1^\circ$

- $(2.23 \times 10^7 \text{ m})$ ,  $1.68 \times 10^8 \text{ m}$

- a)  $22.6 \text{ m}$  b)  $52.3 \text{ m}$  c)  $1.18 \text{ s}$

- a) La bola libra por  $0.889 \text{ m}$  b) mientras desciende

- a)  $18.1 \text{ m/s}$  b)  $1.13 \text{ m}$  c)  $2.79 \text{ m}$

- $9.91 \text{ m/s}$

- $\tan^{-1}[(2gh)^{1/2}/v]$

- $377 \text{ m/s}^2$

- a)  $6.00 \text{ rev/s}$  b)  $1.52 \text{ km/s}^2$  c)  $1.98 \text{ km/s}^2$

- $1.48 \text{ m/s}^2$  hacia adentro y  $29.9^\circ$  hacia atrás

- a)  $13.0 \text{ m/s}^2$  b)  $5.20 \text{ m/s}$  c)  $7.50 \text{ m/s}^2$

- a)  $577 \text{ km/h}$  a  $60.0^\circ$  O de la vertical

- $28.9 \text{ km/h}$  hacia abajo

- $2.02 \times 10^3 \text{ s}$ ;  $21.0\%$  más largo

- $\lambda_{\text{lab}} = \frac{2L/c}{1 - v^2/c^2}$ ,  $t_{\text{lab}} = \frac{2L/c}{\sqrt{1 - v^2/c^2}}$ . Beth regresa primero.

- $39. 15.3 \text{ m}$

- $27.7^\circ$  NE

- a)  $9.80 \text{ m/s}^2$  abajo b)  $3.72 \text{ m}$

- a)  $41.7 \text{ m/s}$  b)  $3.81 \text{ s}$

- $(34.11 - 13.4 \hat{j}) \text{ m/s}$ ;  $36.7 \text{ m/s}$

- a)  $25.0 \text{ m/s}^2$ ;  $9.80 \text{ m/s}^2$

- $9.80 \text{ m/s}^2$

- $25.0 \text{ m/s}^2$

- $9.80 \text{ m/s}^2$

- $25.0 \text{ m/s}^2$

- $9.80 \text{ m/s}^2$

- $25.0 \text{ m/s}^2$

- $9.80 \text{ m/s}^2$

- $25.0 \text{ m/s}^2$

- $9.80 \text{ m/s}^2$

- $25.0 \text{ m/s}^2$

- $9.80 \text{ m/s}^2$

- $25.0 \text{ m/s}^2$

- $9.80 \text{ m/s}^2$

- b) El vector  $\vec{v}$  dice cómo cambia  $\vec{r}$ . Si  $\vec{v}$  en un punto particular tiene una componente a lo largo de  $\vec{r}$ , por lo tanto  $\vec{r}$  aumentará en magnitud (si  $\vec{v}$  está en un ángulo menor que  $90^\circ$  desde  $\vec{r}$ ) o disminuirá (si el ángulo entre  $\vec{v}$  y  $\vec{r}$  es más de  $90^\circ$ ). Para ser un mínimo, la distancia desde el origen momentáneamente debe permanecer constante, y la única forma en que puede suceder es si el ángulo entre velocidad y posición es un ángulo recto. En tal caso  $\vec{r}$  cambiará en dirección en dicho punto, pero no en magnitud. c) El requisito de perpendicularidad se puede definir como igualdad entre la tangente del ángulo entre  $\vec{v}$  y la dirección  $x$  y la tangente del ángulo entre  $\vec{r}$  y la dirección  $y$ . En símbolos, esta igualdad se puede escribir  $(0.8t - 49)/12 = 12/(49t - 4.9t^2)$ , que tiene la solución  $t = 5.70$  s, lo que a su vez da  $y = 138$  m. De manera alternativa, se puede requerir  $d^2r/dt = 0 = (d/dt)[(120)^2 + (49t - 4.9t^2)^2]$ , que resulta en la misma ecuación con la misma solución.

51. a) 26.6° b) 0.949  
53. a) 680 km b) 3.00 km verticalmente arriba del punto de impacto c) 66.2°  
55. a) 46.5 m/s b)  $-77.6^\circ$  c) 6.34 s  
57. a) 20.0 m/s, 5.00 s b)  $(16.0\hat{i} - 27.1\hat{j})$  m/s  
59. a) 43.2 m b)  $(9.66\hat{i} - 25.5\hat{j})$  m/s. La resistencia del aire de ordinario hace menor la distancia de salto y las componentes de velocidades finales horizontal y vertical son un poco menores. Cuando el saltador experto hace de su cuerpo una superficie sustentadora, desvía hacia abajo el aire por el que pasa, así que él se desvía hacia arriba, lo que le da más tiempo en el aire y un salto más largo.  
61. Las distancias seguras son menores que 270 m o mayores que  $3.48 \times 10^8$  a la línea poniente de la costa.

## CAPÍTULO 5

1.  $(6.00\hat{i} + 15.0\hat{j})$  N; 16.2 N  
3. a)  $(2.50\hat{i} + 5.00\hat{j})$  N b) 5.59 N  
5. a)  $3.64 \times 10^{-18}$  N b)  $8.93 \times 10^{-36}$  N es 408 mil millones de veces menor  
7. 2.35 N para una persona de 88.7 kg  
9. a) 5.00 m/s  $\pm 36.9^\circ$  b) 6.08 m/s  $\pm 25.3^\circ$   
11. a)  $\sim 10^{-22}$  m/s<sup>2</sup> b)  $\sim 10^{-25}$  m  
13. a) 15.0 lb arriba b) 5.00 lb arriba c) 0  
15. a) 3.43 kN b) 0.967 m/s horizontalmente hacia adelante  
17.

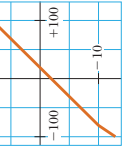


- 61.3 N  
19. a)  $P \cos 40^\circ - n = 0$  y  $P \sin 40^\circ - 220 \text{ N} = 0$ ;  $P = 342 \text{ N}$  y  $n = 262 \text{ N}$  b)  $P - n \cos 40^\circ - (220 \text{ N}) \sin 40^\circ = 0$  y  $n \sin 40^\circ - (220 \text{ N}) \cos 40^\circ = 0$ ;  $n = 262 \text{ N}$  y  $P = 342 \text{ N}$  c) Los resultados concuerdan. Los métodos tienen un nivel similar de dificultad. Cada uno involucra una ecuación con una incógnita y una ecuación con dos incógnitas. Si está interesado en encontrar  $n$  sin encontrar  $P$ , el método b) es más simple.  
23. a) 49.0 N b) 49.0 N c) 98.0 N d) 24.5 N  
25. 8.66 N Este  
27. a) 646 N arriba b) 646 N arriba c) 627 N arriba d) 589 N arriba

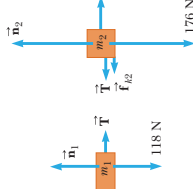
55. a)  $a = 12 \text{ N}/(4 \text{ kg} + m_1)$  adelante b)  $12 \text{ N}/(1 + m_1/4 \text{ kg})$  adelante c)  $2.50 \text{ m/s}^2$  adelante y  $10.0 \text{ N}$  adelante d) La fuerza tiende a cero e) La fuerza tiende a  $12.0 \text{ N}$  f) La tensión en la cuerda de masa despreciable es constante a lo largo de su longitud.  
57. a)  $Mg/2$ ,  $Mg/2$ ,  $Mg/2$ ,  $3Mg/2$ ,  $Mg$  b)  $Mg/2$   
59. a) Ambos son iguales respectivamente. b)  $1.61 \times 10^4 \text{ N}$  c)  $2.95 \times 10^3 \text{ N}$  d) 0 N;  $3.51 \text{ m/s}$  hacia arriba. Los primeros  $3.50 \text{ m/s}$  de la rapidez de  $3.51 \text{ m/s}$  no necesitan causa dinámica; el movimiento del cable continúa por el mismo, como se describe por la ley de "inercia" o "terquedad". El aumento de  $3.50 \text{ m/s}$  a  $3.51 \text{ m/s}$  debe ser causado por alguna fuerza total hacia arriba en la sección de cable. Sin embargo, ya que su masa es muy pequeña comparada con mil kilogramos, la fuerza es muy pequeña comparada con  $1.61 \times 10^4 \text{ N}$ ; la tensión casi uniforme de esta sección de cable.

61. b)  $\theta$  0 15° 30° 45° 60°  
 $P$  (N) 40.0 46.4 60.1 94.3 260  
63. a) La fuerza neta sobre el cojín neumático está en una dirección fija, hacia abajo y adelante, y forma un ángulo  $\tan^{-1}(\mu/mg)$  con la vertical. Si parte del reposo, se moverá a lo largo de esta línea con b) rapidez creciente. Su velocidad cambia en magnitud. c)  $1.63 \text{ m}$  d) Se moverá a lo largo de una parábola. El eje de la parábola es paralelo a la línea discontinua en la figura del problema. Si el cojín se lanza en una dirección sobre la línea discontinua, su trayectoria será cóncava hacia abajo, lo que hace que su velocidad se vuelva más y más paralela a la línea discontinua con el tiempo. Si el cojín se lanza abajo más pronunciadamente, su trayectoria será cóncava hacia arriba, lo que de nuevo hace que su velocidad cambie hacia la dirección de su aceleración.  
65. a) 19.3° b) 4.21 N  
67.  $(M + m_1 + m_2)(mg/m_1)$   
69. a)  $30.7^\circ$  b)  $0.843 \text{ N}$

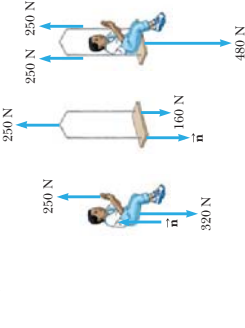
71. a)  $T_1 = \frac{2mg}{\tan \theta_1}$ ,  $T_2 = \frac{mg}{\sin \theta_2} = \frac{mg}{\sin[\tan^{-1}(\frac{1}{4} \tan \theta_1)]}$   
 $T_3 = \frac{2mg}{\tan \theta_1}$   
b)  $\theta_2 = \tan^{-1}\left(\frac{\tan \theta_1}{2}\right)$   
CAPÍTULO 6  
1. Cualquier rapidez arriba de  $8.08 \text{ m/s}$   
3. a)  $8.32 \times 10^{-8}$  N hacia el núcleo b)  $9.13 \times 10^{22} \text{ m/s}^2$  hacia adentro  
5. a) fricción estática b) 0.085  
7. 2.14 rev/min  
9.  $v \leq 14.3 \text{ m/s}$   
11. a) 108 N b) 56.2 N  
13. a) 4.81 m/s b) 700 N arriba  
15. No. Tarzán necesita una liana con resistencia a la rotura de 1.38 kN.  
17. 3.13 m/s  
19. a) 3.60 m/s<sup>2</sup> b) cero c) Un observador en el automóvil (un marco no inercial) afirma una fuerza de 18.0 N hacia la izquierda y una fuerza de 18.0 N hacia la derecha. Un observador inercial (altura del auto) solo afirma una fuerza de 18.0 N hacia la derecha.  
21. a)  $17.0^\circ$  b) 5.12 N  
23. a) 491 N b) 50.1 kg c) 2.00 m/s  
25. 0.0028°  
27. a)  $32.7 \text{ s}^{-1}$  b) 9.80 m/s<sup>2</sup> abajo c) 4.90 m/s<sup>2</sup> abajo  
29. 3.01 N arriba



33. a) 706 N b) 814 N c) 706 N d) 648 N  
35. a) 256 m b) 42.7 m  
37. a) no b) 16.9 N hacia atrás + 37.2 N hacia arriba = 40.9 N hacia arriba y atrás a  $65.6^\circ$  con la horizontal  
39. a) 1.78 m/s<sup>2</sup> b) 0.368 c) 9.37 N d) 2.67 m/s  
41. 37.8 N  
43. a)

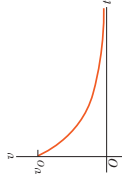


- b) 27.2 N, 1.29 m/s<sup>2</sup>  
45. a)  $a = 0$  si  $P < 8.11 \text{ N}$ ;  $a = -3.33 \text{ m/s}^2 + (1.41/\text{kg})P$  a la derecha si  $P > 8.11 \text{ N}$  b)  $a = 0$ ;  $3.99 \text{ N}$  horizontalmente hacia atrás c)  $10.8 \text{ m/s}^2$  a la derecha;  $3.45 \text{ N}$  a la izquierda d) La aceleración es cero para todos los valores de  $P$  menores que  $8.11 \text{ N}$ . Cuando  $P$  pasa este umbral, la aceleración salta a su mínimo valor distinto de cero de  $8.14 \text{ m/s}^2$ . Desde ahí aumenta linealmente con  $P$  hacia valores arbitrariamente altos.  
47. 72.0 N  
49. a)  $2.94 \text{ m/s}^2$  adelante b)  $2.45 \text{ m/s}^2$  adelante c)  $1.19 \text{ m/s}^2$  arriba del plano d)  $0.711 \text{ m/s}^2$  arriba del plano e)  $16.7^\circ$  f) La masa no hace diferencia. Matemáticamente, la masa se elimina en las determinaciones de aceleración. Si varios paquetes de platos se colocaran en el camión, todos se deslizarían juntos, independientemente de si están o no amarrados unos a otros.  
51. a)



- b) 0.408 m/s<sup>2</sup> c) 83.3 N  
53. a) 3.00 s b) 20.1 m c)  $(18.0\hat{i} - 9.00\hat{j})$  m

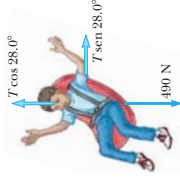
31. a)  $1.47 \text{ N} \cdot \text{s/m}$  b)  $2.04 \times 10^{-3} \text{ s}$  c)  $2.94 \times 10^{-2} \text{ N}$   
33. a) 78.3 m/s b) 11.1 s c) 121 m  
35. a)  $x = k^{-1} \ln(1 + k_0 t)$  b)  $v = v_0 e^{-k_0 t}$   
37. a)  $0.0347 \text{ s}^{-1}$  b)  $2.50 \text{ m/s}$  c)  $a = -cv$   
39.  $v = v_0 e^{-ct/m}$



En este modelo, el objeto sigue moviéndose por siempre. Recorre una distancia infinita en un intervalo de tiempo infinito.

41. a) 106 N arriba del plano b) 0.396  
43. a) 11.5 kN b) 14.1 m/s  
45. a)  $0.0162 \text{ kg/m}$  b)  $\frac{1}{2} \rho A$  c) 0.778 d) 1.5% e) Para filtros de café aplicados que caen en aire con rapidez terminal, la gráfica de fuerza de resistencia del aire como función del cuadrado de la rapidez demuestra que la fuerza es proporcional a la rapidez al cuadrado, dentro de la incertidumbre experimental estimada como 2%. Esta proporcionalidad concuerda con el modelo teórico de resistencia del aire con magnitudes de velocidad altas. El coeficiente de arrastre de un filtro de café es  $D = 0.78 \pm 2\%$ .

47.  $g(\cos \theta \tan \theta - \sin \theta)$   
49. b) 732 N abajo en el ecuador y 735 N abajo en los polos.  
51. a) La única fuerza horizontal en el automóvil es la fuerza de fricción, con un valor máximo determinado por la rugosidad de la superficie (descrita por el coeficiente de fricción estática) y la fuerza normal (en este caso igual a la fuerza gravitacional sobre el automóvil). b)  $34.3 \text{ m}$  c)  $68.6 \text{ m}$  d) Frenar es mejor. No debe girar el volante. Si usó alguna de las fuerzas de fricción disponibles para cambiar la dirección del automóvil, no sería posible frenar el auto y la distancia de frenado sería mayor. e) La conclusión es verdadera en general. El radio de la curva que apenas puede hacer es el doble de su distancia de frenado mínima.  
53. a) 5.19 m/s b)  $T = 555 \text{ N}$



55. b) 2.54 s; 23.6 rev/min c) Las fuerzas gravitacional y de fricción permanecen constantes. La fuerza normal aumenta. La persona permanece en movimiento con la pared. d) La fuerza gravitacional permanece constante. Las fuerzas normal y de fricción disminuyen. La persona se desliza en relación con la pared y hacia abajo en el hueco.

$$57. a) v_{\min} = \sqrt{\frac{Rg(\tan \theta - \mu_s)}{1 + \mu_s \tan \theta}}, v_{\max} = \sqrt{\frac{Rg(\tan \theta + \mu_s)}{1 - \mu_s \tan \theta}}$$

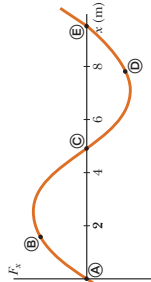
- b)  $\mu_s = \tan \theta$  c)  $857 \text{ m/s} \leq v \leq 16.6 \text{ m/s}$   
59. a) 0.013 2 m/s b) 1.03 m/s c) 6.87 m/s  
61. 12.8 N

**CAPÍTULO 8**

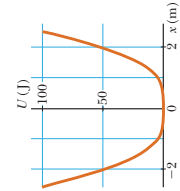
1. a)  $\Delta E_{\text{int}} = Q + T_{\text{fr}} + T_{\text{fr}}$  b)  $\Delta K + \Delta U + \Delta E_{\text{int}} = W + Q + T_{\text{fr}} + T_{\text{fr}}$  c)  $\Delta U = Q + T_{\text{fr}}$   
d)  $0 = (3g/2) + T_{\text{fr}} + T_{\text{fr}}$  e)  $0.098 \text{ N}$  abajo
5. 10.2 m
7. a) 4.43 m/s b) 5.00 m
9. 5.49 m/s
11. a) 25.8 m b) 27.1 m/s<sup>2</sup>
13. a) 650 J b) 588 J c) 0 d) 0 e) 62.0 J
15. a) -168 J b) 184 J c) 500 J d) 148 J e) 5.65 m/s
17. 2.04 m
19. 3.74 m/s
21. a) -160 J b) 78.5 J c) 28.8 N d) 0.679
23. a) 1.40 m/s b) 4.60 cm después de liberar c) 1.79 m/s
25. a) 0.381 m b) 0.143 m c) 0.371 m
27. a)  $a = -\mu_s g/L$  b)  $v = (\mu_s g L)^{1/2}$
29. 875 W
31.  $\sim 10^4 \text{ W}$
33. \$46.2
35. a) 10.2 kW b) 10.6 kW c) 5.82 MJ
37. a) 11.1 m/s b) 19.6 m/s<sup>2</sup> hacia arriba c)  $2.23 \times 10^3 \text{ N}$  hacia arriba d)  $1.01 \times 10^3 \text{ J}$  e) 5.14 m/s f) 1.35 m g) 1.39 s
39. a)  $(2 + 24t^2 + 72t^3) \text{ J}$  b)  $12 \text{ m/s}^2$ , 48 t N
41. a)  $(48t + 288t^2) \text{ W}$  d) 1.250 J
43. a)  $1.38 \times 10^4 \text{ J}$  b)  $3.02 \times 10^4 \text{ W}$
45. a) 4.12 m b) 3.35 m
47. a) 2.17 kW b) 38.6 kW
49. a)  $x = -4.0 \text{ mm}$  b) -1.0 cm
49. 33.4 kW
51. a) 0.225 J b)  $\Delta E_{\text{mec}} = -0.363 \text{ J}$  c) No. La fuerza normal cambia en una forma complicada.
53. a) 100 J b) 0.410 m c) 2.84 m/s d) -0.80 mm
55. 0.328
57. 1.24 m/s
59. a) 0.400 m b) 4.10 m/s c) El bloque permanece en la pista.
61. 2m
65. a) 14.1 m/s b) -7.90 kJ c) 800 N d) 771 N
- e) 1.57 kN arriba

**CAPÍTULO 7**

1. a) 31.9 J b) 0 c) 0 d) 31.9 J
3. -4.70 kJ
7. a) 16.0 J b) 36.9°
9. a) 11.3° b) 156° c) 82.3°
11.  $A = 7.05 \text{ m}$  a  $28.4^\circ$
13. a) 24.0 J b) -3.00 J c) 21.0 J
15. a) 7.50 J b) 15.0 J c) 7.50 J d) 30.0 J
17. a) 0.938 cm b) 1.25 J
19. 7.87 N/m
21. 0.299 m/s
23. a) 0.020 4 m b) 720 N/m
25. b)  $mg/k$
27. a) 0.600 J b) -0.600 J c) 1.50 J
29. a) 1.20 J b) 5.00 m/s c) 6.30 J
31. a) 60.0 J b) 60.0 J
33. 878 kN arriba
35. a) 4.56 kJ b) 6.34 kN c) 422 km/s<sup>2</sup> d) 6.34 kN
- e) Las fuerzas son las mismas. Las dos teorías concuerdan.
37. a) 259 kJ b) -259 kJ c) -196 J La fuerza es conservativa.
39. a) -196 J b) -196 J c) -196 J La fuerza es conservativa.
41. 125 J b) 50.0 J c) 66.7 J d) La fuerza es no conservativa. Los resultados difieren.
43. a) 40.0 J b) -40.0 J c) 62.5 J
45.  $(A/r^2)$  alejándose de la otra partícula
47. a)  $\infty$ ,  $-\infty$ , 0 en  $\odot$ ,  $\odot$ , y  $\oplus$   
b)  $\odot$  estable;  $\oplus$  y  $\oplus$  inestable



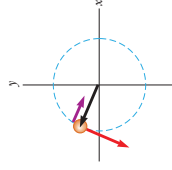
49. c) Equilibrio a  $x = 0$



51. 90.0 J
53. a)  $x = (3.62 \text{ m})/(4.30 - 23.4 \text{ m})$  donde  $x$  está en metros y  $m$  en kilogramos b) 0.095 1 m c) 0.492 m d) 6.85 m
- e) La situación es imposible. f) La extensión es directamente proporcional a  $m$  cuando  $m$  sólo es unos cuantos gramos. Por lo tanto crece cada vez más rápido y diverge a infinito para  $m = 0.184 \text{ kg}$ .
55.  $U(x) = 1 + 4e^{-2x}$ . La fuerza debe ser conservativa porque el trabajo que la fuerza hace en el objeto sobre el que actúa sólo depende de las posiciones original y final del objeto, no de la trayectoria entre ellos.
57. 1.68 m/s
59. 0.799 J

**CAPÍTULO 10**

1. a) 5.00 rad, 10.0 rad/s, 4.00 rad/s<sup>2</sup> b) 53.0 rad, 22.0 rad/s, 4.00 rad/s<sup>2</sup>
3. a) 4.00 rad/s<sup>2</sup> b) 18.0 rad
5. a) 5.24 s b) 27.4 rad
7. a)  $7.27 \times 10^{-5} \text{ rad/s}$  b)  $2.57 \times 10^4 \text{ s} = 428 \text{ min}$
9. 50.0 rev
11.  $\sim 10^7 \text{ rev}$
13. a) 8.00 rad/s b) 8.00 m/s,  $a_t = -64.0 \text{ m/s}^2$ ,  $a_c = 4.00 \text{ m/s}^2$  c) 9.00 rad
15. a)  $(-2.73 \hat{i} + 1.24 \hat{j}) \text{ m}$  b) en el segundo cuadrante, a  $156^\circ$   $(-1.85 \hat{i} - 4.10 \hat{j}) \text{ m/s}$  d) hacia el tercer cuadrante, a  $246^\circ$



17. a) 196 rad/s b) 3.77 m/s c)  $1.26 \text{ km/s}^2$  d) 20.1 m
19. 0.572
21. a)  $143 \text{ kg} \cdot \text{m}^2$  b) 2.57 kJ
25. a) 24.5 m/s b) no; no; sí
27.  $1.28 \text{ kg} \cdot \text{m}^2$
29.  $\sim 10^9 \text{ kg} \cdot \text{m}^2$
33. -3.35 N · m
35. a) 24.0 N · m b)  $0.035 \text{ rad/s}^2$  c)  $1.07 \text{ m/s}^2$
37. a) 0.309 m/s<sup>2</sup> b) 7.67 N y 9.22 N
39. 21.5 N
41. 24.5 km
43. 149 rad/s
45. a) 1.59 m/s b) 53.1 rad/s
47. a) 11.4 N, 7.57 m/s<sup>2</sup>, 9.53 m/s abajo b) 9.53 m/s
51. a)  $2(Rg/3)^{1/2}$  b)  $4(Rg/3)^{1/2}$  c)  $(Rg)^{1/2}$
53. a) 500 J b) 250 J c) 750 J
55. a)  $\frac{2}{3}g \sin \theta$  para el disco, mayor que  $\frac{1}{2}g \sin \theta$  para el aro b)  $\frac{1}{2} \tan \theta$
57.  $1.21 \times 10^{-4} \text{ kg} \cdot \text{m}^2$ , la altura no es necesaria
59.  $\frac{1}{2} \ell$
61. a) 4.00 J b) 1.60 s c) sí
63. a)  $\omega = 3\pi/\ell$  b)  $\alpha = 3\pi/\ell$  c) y d) Ambos mayores. Un componente de la fuerza de empuje, ejercida por el agua para rociar desde los extremos de los brazos, causa un momento de torsión hacia adelante sobre el rotor. Note también que el rotor con brazos doblados tiene un momento de inercia ligeramente menor del que tendría si los mismos tubos metálicos fuesen rectos.
65. a)  $(3g/L)^{1/2}$  b)  $3g/2L$  c)  $-\frac{3}{2}g\hat{i} - \frac{1}{2}g\hat{j}$  d)  $-\frac{3}{2}g\hat{i} - \frac{1}{2}g\hat{j}$
67. -0.322 rad/s<sup>2</sup>
71. a) 118 N y 156 N b)  $1.17 \text{ kg} \cdot \text{m}^2$
73. a)  $\alpha = -0.176 \text{ rad/s}^2$  b) 1.29 rev c) 9.26 rev
75. a)  $\omega(2\ell/g)^{1/2}$  b) 0.011 6 m c) Sí; la desviación sólo es de 0.02% de la altura original.
79. a) 2.70 R b)  $\Sigma F_x = -20mg/7$ ,  $\Sigma F_y = -5mg/7$
81. a)  $(3gh/4)^{1/2}$  b)  $(3gh/4)^{1/2}$
83. c)  $(8Fd/3M)^{1/2}$
85. a la izquierda





**A-33** Respuestas a problemas con número impar

La rapidez disminuye conforme la onda se mueve hacia agua menos profunda cerca de la playa, así que la amplitud debe aumentar. b) 8,31 m c) Conforme la profundidad del agua tiende a cero, el modelo predecirá rapidez cero y amplitud infinita. La amplitud debe ser finita conforme la onda se aproxima a la playa. Conforme la rapidez disminuye, la longitud de onda también disminuye. Cuando se vuelve comparable con la profundidad del agua, o menor, ya no se aplica la expresión  $v = \sqrt{gd}$ .

53. a)  $\varnothing = (0,050 \text{ kg/s})v_{\text{rms}}^2$  b) La potencia es proporcional al cuadrado de la máxima rapidez de elemento. d)  $(0,300 \text{ kg})v_{\text{rms}}^2$

55. 0,084 3 rad  
59. a)  $(0,707/2)(L/g)^{1/2}$  b)  $L/4$   
61.  $3,86 \times 10^{-4}$

63. a)  $\frac{\mu\omega^2}{2k}A_0^2e^{-2ikx}$  b)  $\frac{\mu\omega^2}{2k}A_0^2$  c)  $e^{-2ikx}$   
65. a)  $\mu_0 + (\mu_r - \mu_0)\epsilon/L$

**CAPÍTULO 17**

1. 5,56 km. En tanto la rapidez de la luz sea mucho mayor que la rapidez del sonido, su valor real no importa.

3. 0,196 s  
5. 7,82 m  
7. a) 826 m b) 1,47 s  
9. a) 0,625 mm b) 1,50 mm a) 75,0  $\mu\text{m}$   
11. a) 2,00 mm, 40,0 cm, 54,6 m b)  $-0,433 \mu\text{m}$   
c) 1,72 mm/s  
13.  $\Delta P = (0,200 \text{ N/m}^2) \sin(62,8x/\text{m} - 2,16 \times 10^4 t/\text{s})$   
15. 5,81 m  
17. 66,0 dB  
19. a) 3,75 W/m<sup>2</sup> b) 0,600 W/m<sup>2</sup>  
c) 0,161 N/m<sup>2</sup> para ambas notas  
21. a)  $2,34 \text{ m} \times 0,390 \text{ m}$  b)  $0,161 \text{ N/m}^2$  para ambas notas c)  $4,25 \times 10^{-4} \text{ m}$  y  $7,09 \times 10^{-8} \text{ m}$  d) Las longitudes de onda y amplitudes de desplazamiento serían mayores en un factor de 1,09. La respuesta en el inciso b) no cambiaría.

23. a)  $1,32 \times 10^{-4} \text{ W/m}^2$  b)  $691 \text{ km}$   
25. a) 0,691 m b) 691 km  
27. 65,6 dB  
29. a) 30,0 m b)  $9,40 \times 10^5 \text{ m}$   
31. a) 332 J b) 46,4 dB  
33. a) 3,04 kHz b) 2,08 kHz c) 2,62 kHz, 2,40 kHz  
35. 26,4 m/s  
37. 19,3 m  
39. a) 56,3 s b) 56,6 km más lejos  
41.  $2,82 \times 10^8 \text{ m/s}$   
43. No es racional e implica un nivel sonoro de 123 dB. Casi toda la energía mecánica perdida se convierte en energía interna en el deslizador.

45. a)  $f$  es de unos cuantos cientos de hertz.  $A \sim 1 \text{ m}$ , duración  $\sim 0,1 \text{ s}$ . b) Si la frecuencia se puede cerrar a 1 000 Hz. Si la persona que palmea sus manos está en la base de la pirámide, el eco puede caer un poco en frecuencia y en sonoridad conforme el sonido regresa, y los últimos ciclos provendrán de los escalones más pequeños y más distantes. El sonido podría iniciar a algún ave particular y de hecho podría ser una grabación del llamado.  
49. a) 0,515/min b) 0,614/min  
51. a) 55,8 m/s b) 2 500 Hz  
53. 1 204,2 Hz  
55. a) 0,642 W b) 0,004 28 = 0,428 %

**A-34** Respuestas a problemas con número impar

57. a) El sonido a través del metal llega primero.  
b)  $(385 \text{ m/s})\Delta t$  c) 46,3 m d) La respuesta se vuelve

$$\ell = \frac{1}{\frac{1}{331 \text{ m/s}} - \frac{1}{v_r}}$$

donde  $v_r$  es la rapidez del sonido en la barra. Conforme  $v_r$  tiende a infinito, el tiempo de recorrido en la barra se vuelve despreciable. La respuesta tiende a  $(331 \text{ m/s})\Delta t$ , que es la distancia que el sonido recorre en el aire durante el tiempo de retardo.

59. a)  $0,948^\circ$  b)  $4,40^\circ$   
61.  $1,34 \times 10^4 \text{ N}$   
63. a) 6,45 b) 0

**CAPÍTULO 18**

1. a)  $-1,65 \text{ cm}$  b)  $-6,02 \text{ cm}$  c) 1,15 cm  
3. a)  $x - x$  b) 0,750 s c) 1,00 m  
5. a) 9,24 m b) 600 Hz  
7. a) 2 b) 9,28 m y 1,99 m  
9. a)  $156^\circ$  b) 0,038 4 cm  
11. 15,7 m, 31,8 Hz, 500 m/s  
13.  $A = 0,089 \text{ m}$ ,  $0,303 \text{ m}$ ,  $0,518 \text{ m}$ ,  $0,792 \text{ m}$ ,  $0,947 \text{ m}$ , 1,16 m desde una bocina  
15. a) 4,24 cm b) 6,00 cm c) 6,00 cm  
d) 0,500 cm, 1,30 cm, 2,50 cm  
17. 0,786 Hz, 1,57 Hz, 2,36 Hz, 3,14 Hz  
19. a) 350 Hz b) 400 kg  
21. a) 163 N b) 660 Hz

23.  $\frac{4L/\lambda^2 \tan \theta}{Mg}$   
25. a) 3 bucles b) 16,7 Hz c) un bucle  
27. a) 3,66 m/s b) 0,200 Hz  
29. a) 0,357 m b) 0,715 m  
31. 0,656 m y 1,64 m  
33.  $n(306 \text{ Hz})$  para  $n = 1$  a 9 y  $n(84,5 \text{ Hz})$  para  $n = 2$  a 23  
35. 30,0 Hz, 1,70 m  
37. a) 350 m/s b) 1,14 m  
39.  $(21,5 \pm 0,1) \text{ m}$ . Los datos sugieren 0,6 Hz de incertidumbre en las mediciones de frecuencia, que sólo es un poco más que 1 %.

41. a) 1,59 kHz b) armónicos de número impar c) 1,11 kHz  
43. 5,64 batimientos/s  
45. a) 1,99 batimientos/s b) 3,38 m/s  
47. El segundo armónico de Mi está cerca del tercer armónico de La, y el cuarto armónico de Do bemol está cerca del quinto armónico de La.

49. a) La rapidez hacia abajo del yoyo es  $dL/dt = (0,8 \text{ m/s}^2)(1,2 \text{ s}) = 0,960 \text{ m/s}$ . La longitud de onda instantánea de la onda de cuerda fundamental está dada por  $\lambda_{\text{NS}} = \lambda/2 = L$ , de modo que  $\lambda = 2Ly/dt = 2(dL/dt) = 2(0,96 \text{ m/s}) = 1,92 \text{ m/s}$ . b) Para el segundo armónico, la longitud de onda es igual a la longitud de la cuerda. En tal caso la relación de cambio de la longitud de onda es igual a  $dL/dt = 0,960 \text{ m/s}$ , la mitad que para el primer armónico. c) Un yoyo de diferente masa sostendría la cuerda bajo una tensión diferente para hacer que cada onda de cuerda vibre con una frecuencia distinta, pero el argumento geométrico dado en los incisos a) y b) todavía se aplica a la longitud de onda. Las respuestas no cambian:  $d\lambda/dt = 1,92 \text{ m/s}$  y  $d\lambda/dt = 0,960 \text{ m/s}$ .

51. a) 34,8 m/s b) 0,977 m  
53. 3,85 m/s alejándose de la estación o 3,77 m/s hacia la estación

55. a) 59,9 Hz b) 20,0 cm  
57. a)  $\frac{1}{2}$  b)  $h/(n+1)^2T$  c)  $\frac{1}{2}T$   
59.  $y_1 + y_2 = 11,2 \text{ sen}(2,00x - 10,0t + 63,4^\circ)$   
61. a) 78,9 N b) 211 Hz

**CAPÍTULO 19**

1. a)  $-274^\circ \text{C}$  b) 1,27 atm c) 1,74 atm  
3. a)  $-320^\circ \text{F}$  b) 77,3 K  
5. 3,27 cm  
7. a) 0,176 mm b)  $8,78 \mu\text{m}$  c)  $0,093 \text{ g cm}^3$   
9. a)  $-179^\circ \text{C}$  es alcanzable. b)  $-376^\circ \text{C}$  está bajo 0 K y no es alcanzable.  
11. a) 99,8 mL b) aproximadamente 6% del cambio de volumen de la acetona.

13. a) 99,4 cm<sup>3</sup> b) 0,943 cm  
15. 5 336 imágenes  
17. a) 400 kPa b) 449 kPa  
19.  $1,50 \times 10^{29}$  moléculas  
21. 472 K  
23. a) 41,6 mol b) 1,20 kg, casi en concordancia con la densidad tabulada.  
25. a) 1,17 g b) 11,5 mN c) 1,01 kN  
27. 4,39 kg  
29. a) 7,13 m b) El extremo abierto del tubo debe estar hacia abajo después de que el ave salga a la superficie, de modo que el agua pueda drenarse. No hay otro requisito. El aire no tiende a formar burbujas en un tubo estrecho.

31. a) 94,97 cm b) 95,03 cm  
33. 3,55 cm  
35. Caer en 0,094 3 Hz.  
37. La expansión hace caer la densidad. b)  $5 \times 10^{-5} (^\circ\text{C})^{-1}$   
39. a)  $h = nRT/(mg + P_0A)$  b) 0,661 m  
41. Suponga que  $\alpha \Delta T$  es mucho menor que 1.  
43. Si, en tanto los coeficientes de expansión permanezcan constantes. Las longitudes  $L_0$  y  $L_0 \alpha \Delta T$  necesitan satisfacer  $17L_0 = 11L_2$ . Por lo tanto, la barra de acero debe ser más larga. Con  $L_0 - L_2 = 5,00 \text{ cm}$ , la única posibilidad es  $L_0 = 14,2 \text{ cm}$  y  $L_2 = 9,17 \text{ cm}$ .  
45. a) 0,340% b) 0,480%  
47. 2,74 m  
49. b) 1,33 kg/m<sup>3</sup>  
53. No. El acero necesitaría ser 2,30 veces más fuerte.  
55. a)  $L_T = L_0 \alpha \Delta T$  b)  $2,00 \times 10^{-4}\%$ ; 59,4%  
57. a)  $6,17 \times 10^{-3} \text{ kg/m}$  b) 632 N c) 580 N; 192 Hz  
59. 4,54 m

**CAPÍTULO 20**

1.  $(10,0 + 0,117)^\circ \text{C}$   
3.  $0,234 \text{ kJ/kg} \cdot ^\circ \text{C}$   
5.  $1,78 \times 10^6 \text{ kg}$   
7.  $29,6^\circ \text{C}$   
9. a)  $0,435 \text{ cal/g} \cdot ^\circ \text{C}$ . b) No es posible hacer una identificación definitiva. El material puede ser una aleación desconocida o un material no mencionado en la tabla. Puede ser berilio.  
11.  $23,6^\circ \text{C}$   
13.  $1,22 \times 10^5 \text{ J}$   
15. 0,294 g  
17. 0,414 kg  
19. a)  $0^\circ \text{C}$  b) 114 g  
21.  $-1,18 \text{ MJ}$

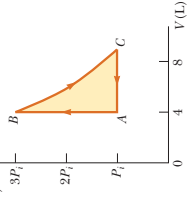
15. Entre  $10^{-26}\text{°C}$  y  $10^{-16}\text{°C}$ .

17.  $13,5\text{ PV}$

19. a) 1,39 atm b) 366 K, 253 K c) 0,  $-4,66\text{ kJ}$ ,  $-4,66\text{ kJ}$

21. 227 K

23. a)  $P$



25. a) 8,77 L c) 900 K d) 300 K e)  $-836\text{ J}$

27. a) 28,0 kJ b) 46,0 kJ c) proceso isotérmico;

$P_f = 10,0\text{ atm}$ ; proceso adiabático:  $P_f = 25,1\text{ atm}$

29. a)  $9,95\text{ cal/K}$ ,  $13,9\text{ cal/K}$  b)  $13,9\text{ cal/K}$ ,  $17,9\text{ cal/K}$

29. El dióxido de azufre es el gas en la tabla 21.2 con la mayor masa molecular. Si las constantes de resorte efectivas para varios enlaces químicos son comparables, después se puede esperar que el  $\text{SO}_2$  tenga menores frecuencias de vibración atómica. La vibración puede excitarse a temperatura más baja para el dióxido de azufre que para los otros gases. Alguna vibración se puede hacer a 300 K.

31. a)  $6,80\text{ m/s}$  b)  $7,41\text{ m/s}$  c)  $7,00\text{ m/s}$

35. a)  $2,37 \times 10^4\text{ K}$  b)  $1,06 \times 10^3\text{ K}$

37. b) 0,278

39. a) 100 kPa, 66,5 L, 400 K, 5,82 kJ, 7,48 kJ,  $-1,66\text{ kJ}$

b) 133 kPa, 49,9 L, 400 K, 5,82 kJ, 5,82 kJ, 0

c) 120 kPa, 41,6 L, 300 K, 0,  $-909\text{ J}$ ,  $+909\text{ J}$

d) 120 kPa, 43,3 L, 312 K, 722 J, 0,  $+722\text{ J}$

41. b)  $447\text{ J/kg}$ ,  $-1\text{°C}$  concuerda con el valor tabulado dentro de 0,3%. c)  $127\text{ J/kg}$ ,  $-1\text{°C}$  concuerda con el valor tabulado dentro de 2%.

43. b) Las expresiones son iguales porque  $PV = nRT$  y  $\gamma = (C_p + R)/C_v = 1 + R/C_v$  da  $R = (\gamma - 1)C_v$ , de modo que  $PV = n(\gamma - 1)C_v T$  y  $PV/(\gamma - 1) = nC_v T$

45. 510 K y 290 K

47. 0,623

49. a) La presión aumenta conforme el volumen disminuye.

d)  $0,500\text{ atm}^{-1}$ ,  $0,300\text{ atm}^{-1}$

51. a)  $7,27 \times 10^{-20}\text{ J}$  b)  $2,20\text{ km/s}$  c)  $3,510\text{ K}$  Las moléculas que se evaporan son excepcionales, en el extremo de alta rapidez de la distribución de magnitudes de velocidad moleculares. La rapidez promedio de las moléculas en el líquido y en el vapor es adecuada sólo a temperatura ambiente.

53. a)  $0,514\text{ m}^3$  b)  $2,06\text{ m}^3$  c)  $2,38 \times 10^3\text{ K}$  d)  $-480\text{ kJ}$

e)  $2,28\text{ MJ}$

55.  $1,09 \times 10^{-14}$ ,  $0,69 \times 10^{-14}$ ,  $0,529$ ,  $1,00$ ,  $0,199$ ,  $1,01 \times 10^{-11}$ ,  $1,25 \times 10^{-12}$

59. a) 0,203 mol b)  $T_B = T_C = 900\text{ K}$ ,  $V_C = 15,0\text{ L}$

(c, d)

$P, \text{ atm}$   $V, \text{ L}$   $T, \text{ K}$   $E_{\text{int}}, \text{ kJ}$

A 1,00 5,00 300 0,760

B 3,00 5,00 900 2,28

C 1,00 15,0 900 2,28

A 1,00 5,00 300 0,760

e) Fije el pistón en su lugar y ponga el cilindro en un horno a 900 K. Mantenga el gas en el horno mientras gradualmente deja que el gas se expanda para levantar una carga en el pistón

tanto como pueda. Mueva el cilindro del horno de vuelta a la habitación a 300 K y deje que el gas se enfríe y contraiga.

(f, g)

$Q, \text{ kJ}$   $W, \text{ kJ}$   $\Delta E_{\text{int}}, \text{ kJ}$

AB 1,52 0 1,52

BC 1,67  $-1,67$  0

CA  $-2,53$   $+1,01$   $-1,52$

ABCA 0,656  $-0,656$  0

61. b)  $1,60 \times 10^4\text{ K}$

## CAPÍTULO 22

1. a) 6,94% b) 335 J

3. a) 10,7 kJ b) 0,533 s

5. 55,4%

7. 77,8 W

9. a) 67,9% b) 58,8 kW

11. La eficiencia real de 0,069 8 es menor que cuatro décimos de la eficiencia de Carnot de 0,177.

13. a) 741 J b) 459 J

15. a) 564 K b) 212 kW c) 47,5%

17. b)  $1 - T_c/T_h$  lo mismo para un solo motor reversible

c)  $(T_c + T_h)/2$  d)  $(T_h T_c)^{1/2}$

19. 9,00

23. 72,2 J

25. 23,1 mW

27. a) 244 kPa b) 192 J

29. a) 31,2% b) 36,2%

33. 195 J/K

35. 1,02 kJ/K

37.  $-1,0^6\text{ W/K}$  de metabolismo; mucho más si usa aparatos eléctricos de alta potencia o un automóvil.

39.  $5,76\text{ J/K}$ ; la temperatura es constante si el gas es ideal.

41. a) 1 b) 6

43. a)

Número de formas para extraer

Resultado

Todas R 1

2 R, 1 V 3

1 R, 2 V 3

Todas V 1

45. a) 214 J, 64,3 J b)  $-35,7\text{ J}$ ,  $-35,7\text{ J}$ . El efecto neto sería el transporte de energía por calor desde el depósito frío al caliente sin gasto de trabajo externo. c) 333 J, 233 J d) 83,3 J, 83,3 J, 0. El efecto neto sería conversión de energía, tomada por calor, completamente en salida de energía por trabajo en un proceso cíclico. e)  $-0,111\text{ J/K}$ . La entropía del Universo disminuiría.

47. a) 5,00 kW b) 763 W

49. a) 2  $nRT_h \ln 2$  b) 0,273

51.  $5,37 \times 10^6\text{ kg/s}$

53. a) 8,48 kW b) 1,52 kW c)  $1,09 \times 10^4\text{ J/K}$

d) El COP cae en un 20%.

55. a)  $10,5 nRT_h$  b)  $8,50 nRT_h$  c) 0,190

d) Esta eficiencia es mucho menor que el 0,833 para una máquina de Carnot que funciona entre las temperaturas usadas en este caso.

57. a)  $nC_p \ln 3$  b) Ambas piden el cambio en entropía entre los mismos dos estados del mismo sistema. La entropía es una variable de estado. El cambio en entropía no depende de la trayectoria, sino sólo de los estados original y final.

61. a)  $20,0^\circ\text{C}$  c)  $\Delta S = +4,88\text{ J/K}$  La mezcla es irreversible. Es claro que el agua caliente y el agua fría no se separan, y el cambio en entropía es positivo.